

بررسی رفتار بتن‌های حاوی لاستیک تحت بارگذاری فشار تکمحوری

مهدی دهستانی کلاگر^{*}، علیرضا خالو^{**} و پیمان رحمت‌آبادی^{***}

دانشکده مهندسی سازه، دانشگاه صنعتی شریف

(دریافت مقاله: ۱۲/۸۵- دریافت نسخه نهایی: ۱۹/۴/۸۶)

چکیده – در این مطالعه اثر استفاده از خردنهای لاستیک و انعطاف‌پذیر به عنوان سنگدانه در بتن، برای تقلیل مشکلات زیست محیطی لاستیکهای فرسوده و مستعمل خودروها و همچنین اصلاح برخی خواص نامطلوب بتن نظیر تردی و دادن خاصیت انعطاف‌نایابی به بتن مورد توجه قرار گرفته است. بدین منظور نمونه‌های بتنهای استوانه‌ای که خردنهای لاستیک از سه دسته ۱۲/۵، ۲۵، ۳۷/۵ و ۵۰ درصد از حجم سنگدانه‌های طرح اختلاط کنترلی شده بودند، ساخته و عمل آوری شد. نمونه‌های بتنهای تحت کنترل نرخ کرنش تا تغییر شکلهای بزرگ تحت بار فشاری قرار گرفتند. نتایج نشان داد که بتن لاستیکی در مقایسه با بتن معمولی مقاومت کمتر و انعطاف‌پذیری بسیار بیشتری داشته و شکست در آنها برخلاف شکست انفجاری بتن معمولی، آرام و یکنواخت بوده و هیچ‌گونه جدادگی در قسمتهای بتن صورت نگرفت. عرض ترکها و سرعت انتشار ترک نیز در نمونه‌های بتنهای لاستیکی کمتر از مقدار آن در بتن معمولی بوده است.

واژگان کلیدی : بتنهای لاستیکی، رفتار مکانیکی، تنش-کرنش، محیط زیست

Investigation of the Behavior of Rubberized Concrete under Uniaxial Compressive Test

M. Dehestani, Ali R. Khaloo , and P. Rahmatabadi

Civil Engineering Department, Sharif University of Technology, Tehran
Center of Excellence in Structures & Earthquake Engineering

Abstract: Use of scrap tire rubber particles as aggregate in Portland-cement concrete is a suitable solution for the environmental hazards of waste tires being produced on a large scale. Tire rubber particles also reduce the brittle behavior of concrete due to their elasticity and plasticity. The effect of tire rubber particles on the mechanical properties of concrete is investigated in this study. Tire rubber particles were used in three (coarse, fine, and combined) groups to replace 12.5, 25, 37.5, and 50% of total aggregate volume in concrete. Cylindrical concrete specimens (15cm across and 30 cm high)

*** – دانشجوی دکترا

** – استاد

* – دانشجوی کارشناسی ارشد

were fabricated and cured. A compressive strain-control test was performed on the specimens until failure occurred in large deformations. Results show lower strength and more ductile behavior for rubberized concrete compared to plain concrete specimens. Unlike in plain concrete, the failure state in rubberized concrete occurred gently and uniformly and did not cause any separation in the specimen. The crack width and its propagation velocity in rubberized concrete were lower than those in plain concrete.

Keywords: Rubber concrete, Mechanical behavior, Stress-strain, Environment.

شده است. تحقیقات مربوط به بتن‌های حاوی لاستیک در

سالهای بعد نیز همچنان ادامه یافته است.
هرنالندز و همکاران در سال ۲۰۰۲ رفتار استاتیک و دینامیکی بتن‌های حاوی لاستیک را برای درصدهای کم، نظیر ۵ و ۷ درصد مورد بررسی قرار دادند. گوکانگلی و همکاران نیز در سال ۲۰۰۴ بتن‌های لاستیکی را برای ذرات رشته‌ای شکل لاستیک مورد بررسی قرار دادند^[۵]. رفعت صدیق و تاران نیز نیز در سال ۲۰۰۴ خواص بتن‌های لاستیکی را در یک مقاله مروری بررسی کردند^[۵]. ارهاں گونیزی و همکاران نیز در سال ۲۰۰۴ به منظور اصلاح خواص بتن‌های حاوی لاستیک از ذرات سیلیکافوم استفاده کردند^[۵].

در مقاله حاضر نمونه‌های بتنی تحت آزمایش فشار تک محوری که آهنگ اعمال تغییرات کرنش در آن ثابت بوده است، قرار گرفتند. با بررسی معادلات تنش-کرنش نمونه‌های بتن لاستیکی در آزمایش مذبور و نیز شکلهای مربوط به برخی از نمونه‌ها در حالت شکست، رفتار تحلیلی و دقیقی از بتن‌های حاوی لاستیک ارائه شده است. توصیف دقیق و کامل رفتار بتن‌های لاستیکی و نیز استفاده از خرده‌لاستیک با اندازه‌های ترکیبی از ویژگیهای کار حاضر است.

۲- مواد و روش آزمایشات

برای ساخت نمونه‌های بتن لاستیکی از ذرات دانه بندی شده لاستیک در سه دسته ریزدانه، درشت‌دانه و ترکیبی به عنوان قسمتهای مشخصی از حجم سنگدانه استفاده شده است. برای ایجاد تمایز بین دانه‌های لاستیک از نظر ریزدانه یا درشت دانه بودن از الک #۴/۷۵ میلیمتر استفاده شد، به این ترتیب که دانه‌های باقیمانده روی این الک با ماکریزم اندازه ۲۰ میلیمتر

۱- مقدمه

لاستیکهای مستعمل و فرسوده خودروها به عنوان نوعی زباله جامد مشکلات زیست‌محیطی زیادی را موجب شده‌اند. با توجه به توسعه روزافرون صنعت و تولید قابل ملاحظه لاستیک خودرو مکانهای دپوی لاستیک به سرعت پر می‌شوند^[۱]. از سویی دیگر مکانهای دپوی لاستیک پتانسیل زیادی برای آتش‌سوزیهای بزرگ و همچنین تجمع آلودگیها و انواع حشرات و جانوران موذی دارد. لذا استفاده از لاستیک به عنوان سنگدانه در زمینه گسترده‌ای نظری ساخت بتن، می‌تواند تا حد زیادی راهگشای مشکلات زیست‌محیطی مذکور باشد. علاوه بر این استفاده از دانه‌های لاستیکی به دلیل داشتن خواصی نظری انعطاف‌پذیری، جذب انرژی و سختی پایین به عنوان سنگدانه در بتن ممکن است منجر به تعدیل برخی خواص نامطلوب بتن نظیر تردی، شکست ناگهانی و انفجاری و چقرمگی کم بتن شود. لذا محققان زیادی استفاده از لاستیک خردشده در اندازه‌های مختلف را مورد مطالعه و بررسی قرار داده‌اند^[۶-۲]. از جمله کارهای انجام شده در این زمینه می‌توان به کارهای خطیب و بویامی در سال ۱۹۹۹ و نیز توپکو و آوکولر در سالهای ۱۹۹۵ و ۱۹۹۷ اشاره کرد. قبل از آنها نیز الدین و سنوکی در سال ۱۹۹۳ ذرات مربوط به سه نوع لاستیک مختلف را جایگزین بخشی از سنگدانه‌ها کردند. کارهای انجام شده فوق از نخستین کارهای انجام شده در این زمینه‌اند^[۲].

کارهای انجام شده فوق در بسیاری موارد نتایج مشابهی به دست داده است. اما باید توجه داشت که عواملی چون آماده‌سازی ذرات لاستیک و نیز جنس لاستیک مورد استفاده و اندازه دانه‌ها تاثیرات قابل ملاحظه‌ای در رفتار بتن‌های حاوی لاستیک داشته است و طبعاً موجب بروز تفاوت‌هایی در نتایج

جدول ۱ - خواص دانه‌های لاستیک (مشخصات ارائه شده توسط کارخانه سازنده)

مشخصات لاستیک مورد استفاده		
۱	چگالی نسبی	۱/۱۶ gr/cm ^۳
۲	درصد خاکستر	%۵
۳	نرم کننده	%۱۰
۴	دوده	%۲۹
۵	پلیمر	%۵۰
۶	باقیمانده روی الک با شبکه ۴۰	%۳/۳۶
۷	باقیمانده روی الک با شبکه ۴۰	%۸۰
بسته بندی: کیسه‌های ۳۰ کیلوگرمی		

جدول ۲ - نتایج آزمایشات انجام شده روی دانه‌های لاستیک توسط کارخانه سازنده

نتایج آزمایشات انجام شده بر اساس آزمونهای موسسه ملی استاندارد آمریکا				
آزمونهای شیمیایی	واحد	مقدار واقعی	استاندارد	آزمون
MLT+4 درجه ۱۰۰		۳۷/۵	Max 70	JIS K 6313
درصد خاکستر	%	۵	Max 70	JIS K 6313
عصاره استون	%	۵	Max 70	JIS K 6313
درصد پلیمر	%	۴۶	Min 40	JIS K 6313
چگالی ویژه در ۲۵ درجه'	gr/cm ^۳	۱/۱۴	1.17+-0.02	JIS K 6313
سختی	SHA	۵۳	55+-5	JIS K 6313
مقاومت کششی	kg/cm ²	۴۱	Min 70	JIS K 6313
کشیدگی	%	۲۰۰	Min 300	JIS K 6313

سنگدانه‌های معدنی شامل شن و ماسه نیز با توجه به استاندارد ASTM [۱] تهیه و آماده شد. مشخصات مربوط به سنگدانه‌ها و دانه‌بندی ذرات لاستیک و سنگدانه‌ها در جداول (۳) و (۴) آورده شده است. به منظور دانه‌بندی دانه‌های سبک لاستیک در الکها، چند عدد سنگ درشت دانه وارد شد تا ضمن برخورد با دانه‌های لاستیک آنها را به سمت الکهای زیرین هدایت کنند.

تعداد نمونه‌ها و مشخصات آنها در جدول (۵) آمده است. طرح اختلاط مربوط به نمونه‌ها و مشخصات کمی اجزای تشکیل دهنده آنها نیز با توجه به استاندارد ACI 211.1-81 و

در بعد به عنوان درشت دانه‌های لاستیک انتخاب شد. اما از آنجا که ذرات عبوری از این الک بعضًا حاوی ذرات بسیار ریز بوده است که ممکن بود این ذرات گیرش سیمان را در بتون کاهش دهند [۷]، این ذرات از الک #100 نیز عبور داده شدند تا ذرات ریزدانه لاستیک فقط شامل آن دسته از ذراتی باشند که روی الک #100 باقی مانده‌اند. دسته خردل‌استیکهای ترکیبی نیز از نسبتها مساوی دسته‌های ریز و درشت تشکیل شد. لاستیک مورد استفاده از کارخانه‌ای در ایران تهیه شده است که خواص و آزمونهای انجام شده اولیه روی آن که توسط کارخانه انجام شد، در جداول (۱) و (۲) آورده شده است.

جدول ۳ - دانه‌بندی دانه‌های لاستیک

الک	اندازه (میلی‌متر)	وزن باقیمانده روی هر الک (گرم)	وزن تجمعی باقیمانده روی هر الک (گرم)	درصد تجمعی عبوری از هر الک (%)
1"	۲۵/۴۰	۵۶	۵۶	۷۸/۶۲
3/4"	۱۹/۰۶	۹/۹۰	۶۵/۹۰	۸۵/۴۴
1/2"	۱۲/۷۰	۴۰/۴۰	۱۰۶/۳۰	۷۶/۵۱
3/8"	۹/۵۰	۱۷/۱۰	۱۲۳/۴۰	۷۲/۷۳
#4	۴/۷۵	۷۶/۷۰	۲۰۰/۱۰	۵۵/۷۸
#8	۲/۳۶	۶۲/۲۰	۲۶۲/۳۰	۴۲/۰۳
#16	۱/۱۸	۷۴/۳۰	۳۳۶/۶۰	۲۵/۶۱
#30	۰/۶۰	۵۴/۰۰	۳۹۰/۶۰	۱۳/۶۸
#50	۰/۳۰	۴۷/۶۰	۴۳۸/۲۰	۳/۱۶
Pan	۰/۰۰	۱۴/۳۰	۴۵۲/۵۰	۰/۰۰
Wssd=٪/۴۹/۵۶		۴۵۲/۵۰		

جدول ۴ - مشخصات و دانه‌بندی سنگدانه‌ها

الک	اندازه (میلی‌متر)	وزن باقیمانده روی هر الک (گرم)	وزن تجمعی باقیمانده روی هر الک (گرم)	درصد تجمعی عبوری از هر الک (%)
1.5"	۳۸/۱۰	۰/۰۰	۰/۰۰	۱۰۰/۰۰
1"	۲۵/۴۰	۱۵/۸۰	۱۵/۸۰	۹۹/۱۶
3/4"	۱۹/۰۶	۱۳۸/۶۰	۱۵۴/۴۰	۹۱/۷۷
1/2"	۱۲/۷۰	۴۹۳/۲۰	۶۴۷/۶۰	۶۵/۴۷
3/8"	۹/۵۳	۴۰۵/۵۰	۱۰۰۳/۱۰	۴۳/۸۴
#4	۴/۷۵	۶۹۷/۸۰	۱۷۵۰/۹۰	۶/۶۳
#8	۲/۳۶	۴۴/۲۱	۱۷۹۵/۱۱	۴/۲۷
#16	۱/۱۸	۳۱/۵۲	۱۸۲۶/۶۲	۲/۵۹
#30	۰/۶۰	۲۱/۱۴	۱۸۴۷/۷۷	۱/۴۶
#50	۰/۳۰	۱۶/۳۹	۱۸۶۴/۱۶	۰/۵۹
#100	۰/۱۵	۷/۴۹	۱۸۷۱/۶۵	۰/۱۹
Pan	۰/۰۰	۳/۵۵	۱۸۷۵/۲۰	۰/۰۰

جدول ۵ - برنامه آزمایشات

نمونه	محتوای لاستیک در کل حجم سنگدانه‌ها (%)	حجم لاستیک ریزدانه نسبت به حجم ماسه در طرح کترلی (%)	حجم لاستیک درشتدانه نسبت به حجم شن در طرح کترلی (%)	حجم ماسه نسبت به حجم ماسه در طرح کترلی (%)	حجم شن نسبت به حجم شن در طرح کترلی (%)	تعداد نمونه‌ها
P	۰	۰	۰	۱۰۰	۱۰۰	۳
C25	۱۲/۵	۰	۲۵	۱۰۰	۷۵	۳
C50	۲۵	۰	۵۰	۱۰۰	۵۰	۳
C75	۳۷/۵	۰	۷۵	۱۰۰	۲۵	۳
C100	۵۰	۰	۱۰۰	۱۰۰	۰	۳
F25	۱۲/۵	۲۵	۰	۷۵	۱۰۰	۳
F50	۲۵	۵۰	۰	۵۰	۱۰۰	۳
F75	۳۷/۵	۷۵	۰	۲۵	۱۰۰	۳
F100	۵۰	۱۰۰	۰	۰	۱۰۰	۳
C25F25	۲۵	۲۵	۲۵	۷۵	۷۵	۳
C50F50	۵۰	۵۰	۵۰	۵۰	۵۰	۳

جدول ۶ - طرح اختلاط نمونه‌ها

نمونه	آب (لیتر)	لاستیک درشتدانه (کیلوگرم)	لاستیک ریزدانه (کیلوگرم)	شن (کیلوگرم)	ماسه (کیلوگرم)	رطوبت شن (%) در شرایط آزمایش	رطوبت ماسه (%) در شرایط آزمایش	اسلام پ (سانتی‌متر)
P	۱۵۷/۵	۰	۰	۹۰۰	۹۰۰	۰	۰	۵
C25	۲۴۶/۵	۱۵۲/۳۷۵	۰	۶۷۵	۹۰۰	۲/۶	۵/۵	۲
C50	۳۱۷/۱۴	۳۰۴/۱۸	۰	۴۵۰	۹۰۰	۲	۶/۴	۳/۵
C75	۳۷۳/۳۳	۴۵۶/۳	۰	۲۲۵	۹۰۰	۳	۸	۲
C100	۴۵۹/۲	۶۰۹/۵	۰	۰	۹۰۰	۳	۷	۲/۵
F25	۲۳۲/۶۴	۰	۱۴۹/۵	۹۰۰	۶۷۵	۳	۷	۷/۵
F50	۲۸۹/۹	۰	۲۹۹	۹۰۰	۴۵۰	۴	۷/۵	۶/۵
F75	۳۹۶/۰۴	۰	۴۵۲/۱	۹۰۰	۲۲۵	۳	۲/۵	۷
F100	۴۷۰/۶	۰	۶۰۲/۸	۹۰۰	۰	۳	۷	۲/۵
C25F25	۳۱۵/۵	۱۵۲/۳۷۵	۱۴۹/۵	۶۷۵	۶۷۵	۳	۶	۵
C50F50	۴۵۱/۲	۳۰۴/۲	۳۰۱/۴	۴۵۰	۴۵۰	۴	۹	۳

وزن مخصوص ویژه نسبی لاستیک: ۱/۱۶

نمونه‌های بتنی، مطابق آنچه در بالا به طور خلاصه آورده شد، به شکل استوانه‌ای با قطر ۱۵ سانتی‌متر و طول ۳۰ سانتی‌متر ساخته و عمل آوری شدند. عمل آوری نمونه‌ها در دمای ۳۵ درجه با رطوبت بیش از ۹۸٪ صورت گرفت. این نمونه‌ها پس از ۵۰ روز تحت آزمایش فشار تک محوری با دستگاه یونیورسال که آهنگ تغیرات کرنش ثابتی برابر ۰/۰۰۵ میلی‌متر بر ثانیه به نمونه‌ها اعمال می‌کرد، قرار گرفتند.

استفاده از طرح اختلاط کترلی با نسبت آب به سیمان ۰/۴۵، به طور خلاصه در جدول (۶) آورده شده است. سیمان مورد استفاده، سیمان تیپ (۱) پرتلند بوده است.

چگالی شن: ۱۷۰۱/۳ کیلوگرم بر متر مکعب

چگالی ماسه: ۱۷۱۶/۸ کیلوگرم بر متر مکعب

چگالی لاستیک: ۱۱۵۰ کیلوگرم بر متر مکعب

وزن مخصوص ویژه نسبی سنگ‌دانه‌ها: ۲/۶۵



شکل ۱- وضعیت شکست در بتن معمولی



شکل ۲- (الف) وضعیت شکست در نمونه F25 ، (ب) وضعیت شکست در نمونه C25

قبلی است. نمونه‌های بتن لاستیکی در مقایسه با نمونه‌های بتن معمولی رفتار انعطاف‌پذیری از خود نشان دادند. شکست در این نمونه‌ها آرام و همراه با تغییرشکل زیاد بوده است. بتن‌های لاستیکی حتی پس از این‌که مقاومت حداکثر خود را احراز کردند نیز در ادامه مقاومت نسبی قابل توجهی در مقایسه با بار حداکثر دارند.

شکل (۱) وضعیت شکست را برای نمونه بتن معمولی نشان می‌دهد. ملاحظه می‌شود که قسمتهایی از بتن در حین خرابی از بتن جدا شده است. اما مطابق شکل (۲) که بتن‌های لاستیکی F25 و C25 را در وضعیت شکست نشان می‌دهد، هیچ‌گونه

۳- نتایج آزمایشات و بحث ۱-۳- بررسی رفتار کلی

بتن‌های معمولی در زمان خرابی به یکباره قسمت قابل توجهی از مقاومت حداکثر خود را از دست دادند و شکست در آنها سریع بود، به طوری که برشهای و قسمتهایی از بتن جدا شدند و این رفتار بتن از نقاط عمدۀ ضعف بتن به شمار می‌رود که بعضاً منجر به خسارات قابل توجه نیز می‌شود. نمونه‌های بتن معمولی در هنگام شکست تغییر شکل کمی دارند و لذا شکست معمولاً بدون اخطار



شکل ۳- انتشار یکنواخت و آرام خرابی در نمونه C25

است. شکل (۳) نمونه C25 را نشان می‌دهند که گسترش ترک در آن به آرامی و یکنواخت از پایین رو به بالا در انتشار است.

نمونه‌های بتونی حاوی لاستیک پس از باربرداری در مقایسه با نمونه‌های بتون معمولی مقدار نسبی بیشتری از کرنش نهایی خود را بازیافت می‌کنند. در واقع دانه‌های لاستیک در هنگام باربرداری از حالت تراکم بیرون آمده و تا حد زیادی درگیریهای عناصر داخلی بتون را تقلیل می‌دهند.

حين انجام آزمایشها مشاهده شد که ترکهای قابل مشاهده ای که در نمونه‌های بتونی حاوی لاستیک رخ می‌داد، در بعد از قسمت تناسب و یا خطی تنش - کرنش قرار گرفت و بنابراین چنانچه در طراحی این نوع بتون‌ها مقادیر قبل از نقطه انتهایی قسمت خطی نمودار را مورد استفاده قرار دهیم با این ترکها مواجه نمی‌شویم و این موضوعی است که در بتون‌های معمولی مشاهده نمی‌شود و یا اینکه این ترکها به طور نسبی زودتر و نزدیکتر به نقطه انتهایی قسمت خطی نمودار رخ می‌دهند.

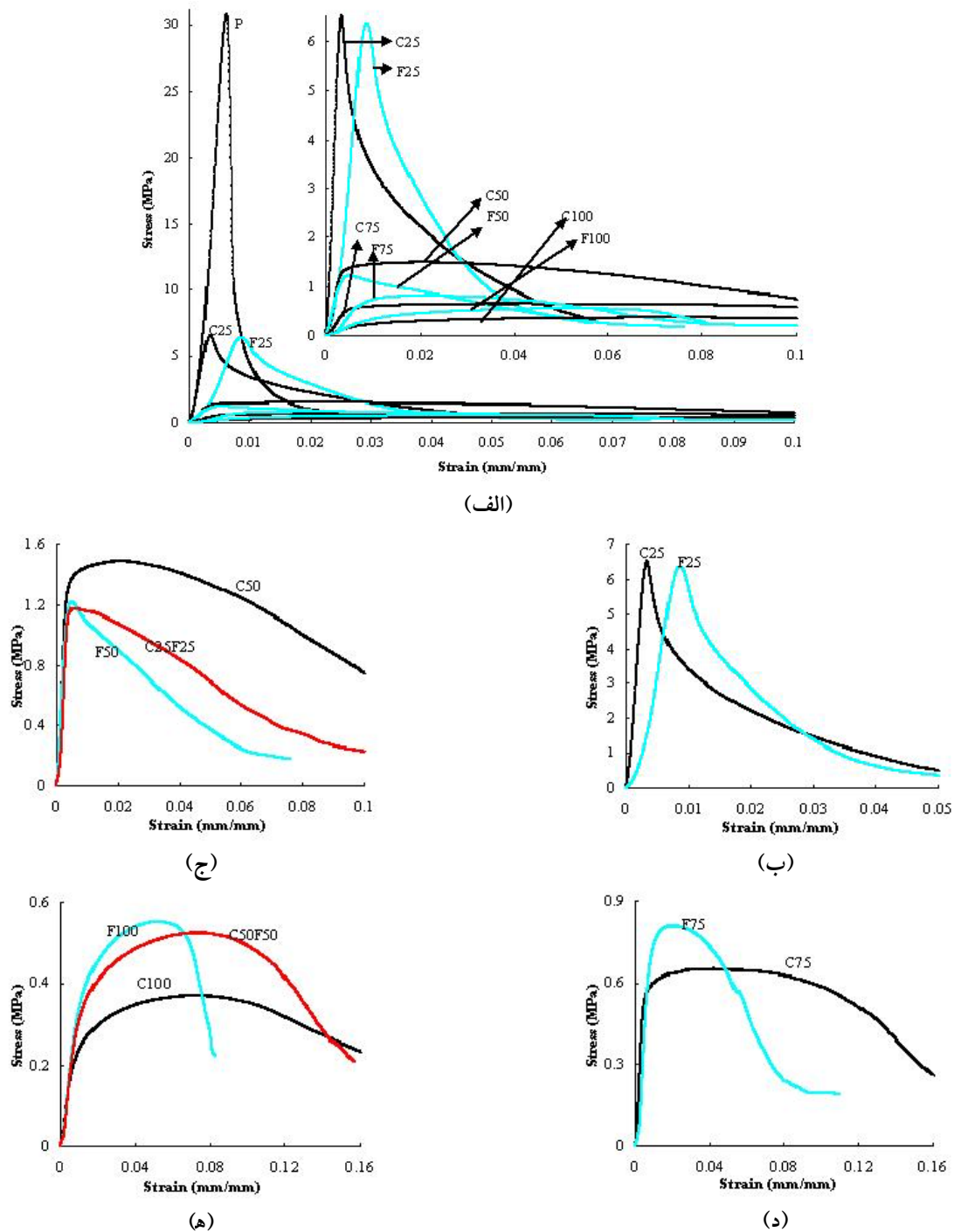
تغییر شکل عرضی نمونه‌های بتون لاستیکی در مقایسه با بتون معمولی بیشتر است و نشان می‌دهد که بتون‌های لاستیکی حائز ضرایب پواسون بیشتری نسبت به بتون معمولی هستند. تغییر شکل عرضی نمونه بتون لاستیکی C50 (۴) در تایید این نکته شایان توجه است.



شکل ۴- تغییر شکل عرضی قابل توجه در نمونه‌های بتون لاستیکی

جاداشدگی در این نمونه‌ها مشاهده نمی‌شود.

همان‌طور که در شکل (۱) مشاهده می‌شود، گسترش ترکها و دیگر عوامل خرابی در بتون‌های معمولی به سرعت و مت مرکز است و حال آنکه در بتون‌های لاستیکی این‌طور نیست. انتشار ترک در بتون‌های لاستیکی به آرامی و یکنواخت صورت می‌گیرد. عرض ترک نیز در بتون‌های لاستیکی کمتر از بتون‌های معمولی



شکل ۵ - منحنی تنش-کرنش کلیه نمونه‌ها

اختلاف قابل توجهی در مقاومت حداکثر و رفتار پس از مقاومت حداکثر بین بتن‌های معمولی و لاستیکی وجود دارد. مطابق منحنیهای نشان‌داده شده نمونه‌های لاستیکی پس از قسمت خطی منحنی تنش-کرنش تغییرشکل بیشتری از

۲-۳- معادلات تنش-کرنش
نتایج آزمایش فشار تکمحوری به صورت داده‌های نیرو-
تغییرمکان بوده است که مطابق شکل (۵) به صورت نمودارهای
تنش-کرنش برای کلیه نمونه‌ها آورده شده است. مطابق شکل

جدول ۷- مقادیر مقاومت نهایی و سختی مماسی نمونه‌ها

نمونه	مقاطومت نهایی (MPa)	مقاطومت نسبت به نمونه کنترلی (%)	مدول مماسی (GPa)	مدول مماسی نسبت به نمونه کنترلی (%)
P	۳۰/۷۷	۱۰۰/۰۰	۷/۴۱	۱۰۰/۰۰
C25	۶/۵۲	۲۱/۱۹	۲/۴۷	۳۳/۳۳
C50	۱/۴۹	۴/۸۴	۰/۳۱	۴/۱۸
C75	۶۵/۰	۲/۱۱	۰/۱۲	۱/۶۲
C100	۰/۳۷	۱/۲۰	۰/۰۳	۰/۴۰
C25F25	۱/۱۷	۳/۸۰	۰/۴۲	۵/۶۷
C50F50	۰/۵۳	۱/۷۲	۰/۰۴	۰/۵۴
F25	۶/۳۶	۲۰/۶۷	۱/۱۵	۱۵/۵۲
F50	۱/۲۲	۳/۹۶	۰/۳۱	۴/۱۸
F75	۰/۸۱	۲/۶۳	۰/۱۱	۱/۴۸
F100	۰/۵۵	۱/۷۹	۰/۰۴	۰/۵۴

نمونه‌های C در وضعیت نرم شوندگی به ازای مقادیر یکسان تغییرشکل، نسبت به نمونه‌های F مقاومت بیشتری نشان دهند. نتایج حاصل از آزمایشهای انجام‌شده روی بتن‌های حاوی دانه‌های لاستیک ترکیبی حاکی از این واقعیت بوده است که به ازای جایگزینی حجمی یکسان از درشت دانه‌ها و ریز دانه‌های لاستیک به نتایجی که مابین نتایج مربوط به دو نمونه‌ای که یا صرفاً دارای ریز دانه و یا فقط درشت دانه لاستیک‌اند، خواهیم رسید. یعنی منحنیهای تنش-کرنش مربوط به نمونه C25F25 تقریباً بین نتایج مربوط به نمونه‌های C50 و F50 قرار می‌گیرد و همین طور برای نمونه C50F50 در مقایسه با نمونه‌های C100 و F100 بنابراین با استفاده از ترکیبیهای مختلف ریزدانه‌ها و درشت دانه‌های لاستیک می‌توان رفتاری مابین رفتارهای مربوط به نمونه‌هایی با محتوای لاستیک کل مشابه به دست آورد.

۴- خلاصه و نتیجه گیری

استفاده از لاستیک در بتن با توجه به مشکلات زیست محیطی لاستیک مستعمل خودروها و برخی خواص نامطلوب بتن نظیر تردبودن، شکست ناگهانی و انفجاری و تغییرشکل کم در حین شکست در این مقاله مورد نظر قرار

نمونه‌های معمولی دارند. نمونه‌های بتن لاستیکی که بیش از ۲۵٪ از حجم سنگدانه‌های آنها را لاستیک تشکیل می‌دهد، حتی در قسمتهای اولیه منحنیهای تنش-کرنش رفتار خطی از خود نشان نمی‌دهند.

نمونه‌های بتنی F با محتوای لاستیک کمتر از ۲۵٪ تغییرشکل بیشتری نسبت به نمونه‌های متناظر C نشان می‌دهند. اما برای مقادیر لاستیک بیش از ۲۵٪ نمونه‌های C تغییرشکل بیشتری دارند. برای بررسی این مسئله در تغییر شکلهای لاستیک، سختی مماسی E را به عنوان شبیه خط مماس در قسمت ابتدایی (در نقطه با مقاومت ۴۰٪ مقاومت حداکثر) تنش-کرنش تعریف شده است. مقادیر E که در جدول (۷) آورده شده است، شاخص خوبی برای نشان دادن میزان مقاومت در برابر تغییر شکل است. بررسی مقادیر E نتیجه فوق را برای نمونه‌های C و F تایید می‌کند.

جدول (۷) نشان می‌دهد که مقادیر مقاومت حداکثر نمونه‌های بتن لاستیکی نوع C با محتوای لاستیک کمتر از ۲۵٪ بیشتر از مقاومت حداکثر در نمونه‌های متناظر F است. اما برای محتوای لاستیک بیشتر از ۲۵٪ نتیجه به عکس است. وجود مقداری الیاف در منبع خردل لاستیک درشت‌دانه موجب شد که

۱۵٪ کل حجم سنگدانه به هیچ وجه توصیه نمی شود. برای محتوای لاستیک کمتر از ۲۵٪ استفاده از درشتدانه های لاستیک در مقایسه با ریزدانه های آن، منجر به تغییر شکل کمتر و مقاومت حداقل بیشتر می شود. این نتیجه برای مقادیر بیش از ۲۵٪ از لاستیک دقیقاً به عکس است.

منحنیهای تنش-کرنش بتن های لاستیکی ترکیبی که در آنها میزان مساوی از درشتدانه و ریزدانه وجود داشت، بین منحنیهای مربوط به نمونه های C و F با محتوای لاستیک مشابه قرار گرفت. به این ترتیب می توان منحنیهای مختلف را با استفاده از تسهیم نسبت حجم لاستیک درشتدانه و ریزدانه در بین منحنیهای مربوط به نمونه های C و F متناظر تحصیل کرد. برای تحقیقات آینده بررسی خستگی و همچنین رفتار دینامیکی نمونه های بتن لاستیکی برای استفاده در سازه ها برای استهلاک انرژی لرزه ای پیشنهاد می شود.

قدردانی

بدین وسیله از خدمات مسئولان آزمایشگاه مصالح و بتن دانشکده عمران دانشگاه صنعتی شریف و همکاریهای قطب علمی سازه و زلزله در دانشگاه صنعتی شریف تشکر و قدردانی می شود.

گرفت. نمونه های بتنی لاستیکی با جایگزین کردن لاستیک به جای بخشی از سنگدانه ها ساخته شد و آزمایش فشار تک محوری روی نمونه ها انجام شد. نتایج مشاهدات و بررسیهای انجام گرفته به صورت زیر بوده است.

نمونه های بتن لاستیکی در مقایسه با نمونه های معمولی بتن رفتاری انعطاف پذیرتر از خود نشان دادند. شکست در نمونه های بتن لاستیکی برخلاف شکست انفجاری بتن معمولی، آرام و یکنواخت بوده و هیچ گونه جدادگی در قسمتهای بتن صورت نگرفت. سرعت انتشار ترک در نمونه های بتن لاستیکی کمتر از سرعت انتشار در بتن معمولی بوده است. عرض ترکهای ایجاد شده در وضعیت شکست برای بتن های لاستیکی نیز در مقایسه با بتن های معمولی کمتر بوده است.

استفاده از لاستیک به عنوان سنگدانه در بتن موجب می شود که بتن مقدار زیادی از مقاومت خود را از دست بدهد. مطابق نتایج به دست آمده وقتی که کل سنگدانه شنی از بتن معمولی با درشتدانه های لاستیک جایگزین شود، بتن ۹۸٪ از مقاومت خود را از دست می دهد. به این ترتیب موارد استفاده از بتن های لاستیکی به مصارف غیرسازه ای محدود می شود. همچنین با توجه به کاهش قابل توجه خواص مقاومتی بتن های لاستیکی استفاده از محتوای لاستیک بیش از

مراجع

1. ASTM Standards, Concrete and Mineral Aggregates, Section 4, American Society for Testing Materials, Philadelphia, 1985
 2. Khatib, and Z.K., Bayomy, F.M., "Rubberized Portland Cement Concrete," *ASCE J Mater Civil Engng*; Vol. 11, No. 3, pp. :206-213, 1999.
 3. Sobral, M. Samagaio, A.J.B., and J.M.F. Ferreira, Labrincha, J.A., "Mechanical and Acoustic Characteristics of Bound Rubber Granulate, *J. Mater Process. Tech.*, Vol. 142, pp. 427-433, 2003.
 4. Neil, N., Eldin, A., and Senouci, B., "Rubber-Tire Particles as Concrete Aggregate, *J Mater Civil Engng*, Vol. 5, No. 4, pp. 478-496, 1993.
 5. Siddiquel, R., and Tarun, R. Naik, "Properties of Concrete Containing Scrap-Tire Rubber – an Overview, Waste Management Vol. 24, pp. 563-569, 2004.
 6. Rostami, H., Lepore, J., Silverstram, T., and Zundi, I., "Use of Recycled Rubber Tires in Concrete," In: Dhir, R.K. (Ed.) *Proceedings of the International Conference on Concrete*, University of Dundee, Scotland, UK, pp., 391-399, 2000.
 7. Neville, A.M., *Properties of Concrete*, 4th ed., Longman, London, 1995
۸. دهستانی کلاگر، م.، پایان نامه کارشناسی، "خواص فیزیکی و مکانیکی بتن های حاوی لاستیک خرد شده،" دانشگاه صنعتی شریف، پاییز ۱۳۸۳.